



СООБЩЕНИЯ  
ОБЪЕДИНЕННОГО  
ИНСТИТУТА  
ЯДЕРНЫХ  
ИССЛЕДОВАНИЙ  
ДУБНА

СЗ46.Чд

18/VIII-75

А-853

P4 - 8835

3023/2-75

Д.А.Арсеньев, Г.Г.Бунатян

ВОЛНОВЫЕ ФУНКЦИИ И УРОВНИ ЭНЕРГИИ

$\pi$ -МЕЗОАТОМОВ

1975

P4 - 8835

Д.А.Арсеньев,\* Г.Г.Бунатян

ВОЛНОВЫЕ ФУНКЦИИ И УРОВНИ ЭНЕРГИИ  
 $\pi$ -МЕЗОАТОМОВ

---

\* Радиотехнический институт АН СССР

В предыдущей работе /1/ мы рассчитали экспериментально наблюдавшиеся энергии переходов и ширины уровней  $\pi$ -мезоатомов, используя для описания взаимодействия  $\pi$ -мезона с ядром эффективный квазипотенциал  $V$ , полученный из теории многократного рассеяния /2/, /3/. Как правило, результаты расчетов хорошо согласуются с экспериментом (см.табл. I из /1/).

Как известно, взаимодействие  $\pi$ -мезона с ядром может быть использовано для изучения структуры ядра. Для этого необходимо получить характеристики (т.е.  $E_{ne}$ ,  $\Gamma_{ne}$ ,  $\Phi_{ne}(r)$ ) всех состояний  $\pi$ -мезона в мезоатоме, а не только тех круговых орбит, т.е. состояний с  $n = \ell - 1$ , переходы между которыми в настоящее время наблюдаются экспериментально. Этому и посвящена настоящая работа. Все расчеты выполнялись совершенно аналогично работе /1/ и были проведены для  $\pi$ -мезоатомов  $^6Li$ ,  $^{12}C$ ,  $^{40}Ca$ ,  $^{120}Sn$ ,  $^{208}Pb$ ,  $^{238}U$ . Результаты расчетов представлены в таблицах I-6. Поскольку интересно выяснить, к каким эффектам приводят разные члены, входящие в  $V$ , мы проводили расчеты, последовательно включая кулоновский потенциал распределенного заряда

$V_C$ , поляризацию вакуума  $V_{VP}$  и сильное взаимодействие  $\pi$ -мезона с ядром. (В таблицах соответствующие результаты помечены индексами  $C$ ,  $VP$ ,  $\sim$ ). Как видно из таблиц, вклады в  $E_{ne}$ ,  $\Gamma_{ne}$ , возникающие в результате учета этих эффектов, не аддитивны, так что их нельзя учитывать по теории возмущений. Сравнивая результаты, приведенные в колонках 2,3 и 4,6, получаем вклад поляризации вакуума в  $E_{ne}$  без учета и с учетом ядерного взаимодействия; вклад ядерного взаимодействия  $\Delta E_N = E_{N+VP} - E_C + VP$  приведен в колонке 8. Влияние поляризации вакуума на величину  $\Gamma$  видно из сравнения результатов в колонках 5 и 7. От-

носительное влияние вакуумной поляризации возрастает с ростом  $\ell$  для данного  $n$  по сравнению с ролью ядерного взаимодействия  $\pi$ -мезона. Отметим, что для состояний, энергия связи которых сильно отличается от энергии связи для точечного кулоновского заряда,  $n = Re \lambda$  далеко от целого. Поэтому  $n$  в колонке I следует понимать как главное квантовое число соответствующего уровня точечного кулоновского заряда.

2. Из таблиц видно, что ширина  $\Gamma_{ne}$  и ядерный сдвиг  $\Delta E_{npe}$  для малых  $\ell$  медленно убывает с ростом  $n$  и очень быстро меняется с изменением  $\ell$ . Так, например, для  $^6Li$   $\Gamma_{2p} \ll \Gamma_{5s}$  и  $\Delta E_{n5s} \gg \Delta E_{n2p}$ , аналогично для  $^{12}C$   $\Gamma_{8s} \gg \Gamma_{2p}$   $|\Delta E_{n8s}| \gg |\Delta E_{2p}|$ . В этих ядрах, очевидно, поглощение  $\pi$ -мезона происходит из состояний  $S$  и  $P$ , но с различными  $n$ . Для средних ядер, например  $^{40}Ca$  (см.таблицу 3), поглощение может происходить из состояний  $S$ ,  $P$ ,  $d$  с большими значениями  $n$ . Для тяжелых ядер, например  $^{120}Sn$ ,  $^{208}Pb$ ,  $^{238}U$  (см.таблицы 4, 5, 6 и рис. I), поглощение может происходить из состояний  $S$ ,  $P$ ,  $d$ ,  $f$ ,  $g$ , при этом заметим, что, например,  $\Gamma_{2d} \gg \Gamma_{5g}$ ,  $\Gamma_{2d} > \Gamma_{4f}$ ,  $\Gamma_{12f} > \Gamma_{5g}$ , а ядерные сдвиги таковы, что  $E_{4s} \approx E_{5d}$ . Такая зависимость ширины  $\Gamma$  и ядерного сдвига  $\Delta E_n$  от  $n$ ,  $\ell$  для различных мезоатомов объясняется видом волновых функций  $\Phi_{ne}(\zeta)$  для этих ядер. В легких мезоатомах с ядром заметно перекрываются лишь волновые функции

$S$ -состояний  $\Phi_{ns}$  и меньше -  $P$ -состояний  $\Phi_{np}$ . С возрастанием атомного веса увеличивается перекрытие с ядром волновых функций  $\Phi_{ne}$  со все более высокими  $\ell$ . Это видно из рис. 2 и рис. 3, на которых приведены  $|\Phi_{ne}(\zeta)|^2$  для различных состояний  $^6Li$ ,  $^{40}Ca$ ,  $^{208}Pb$ . Обратим внимание на вид  $|\Phi_{ne}(\zeta)|^2$  для

$^{208}Pb$ : перекрытие с ядром  $|\Phi_{4p}|^2$  и  $|\Phi_{4d}|^2$  больше, чем  $|\Phi_{4s}|^2$ . Именно таким поведением волновых функций объясняется то, что ширина  $\Gamma_{4p}$  и  $\Gamma_{4d}$  больше, чем  $\Gamma_{4s}$ . Подчеркнем, что аналогичная ситуация имеет место для всех  $n$  в тяжелых мезоатомах, так, например,  $\Gamma_{2s} < \Gamma_{2d}$ .

Из вида волновых функций (см.рис. I,2) следует, что поглощение  $\pi$ -мезонов в связанных состояниях ( $n, \ell$ ) происходит на поверхности ядра, при  $\zeta \gtrsim C$ , особенно для тяжелых ядер. Это должно приводить к ряду особенностей в поглощении  $\pi$ -мезонов в тяжелых  $\pi$ -мезоатомах. В частности,  $\pi$ -мезоны поглощаются нуклонами с большими моментами  $\ell$ , так как волновые функции таких нуклонов имеют максимум именно на границе ядра.

Характерный вид волновых функций  $\pi$ -мезоатомов определяется видом  $V$  (см.рис.2 из I/I). Из-за ядерного взаимодействия, в частности присутствия в  $V$  мнимой части, волновые функции  $\Phi_{ne}(\zeta)$  малы внутри ядра для всех состояний, включая и  $1S$ -состояние, что особенно заметно для тяжелых ядер. Для  $^{208}Pb$  все волновые функции заметно отличны от 0 лишь для  $\zeta \sim C$ . Именно при  $\zeta \sim C$  потенциал имеет наиболее сложный вид, причем для  $\zeta > C$  ядерный потенциал является притягивающим, тогда как для  $\zeta < C$  - отталкивающим. Этим объясняется знак и величина сдвига различных уровней  $\Delta E_n$ , обусловленного ядерным взаимодействием. В результате получается характерный вид спектра уровней  $E_{ne}$   $\pi$ -мезоатомов, приведенный в таблицах I-6 и на рис. I. Отметим здесь, что в ряде работ /4/, /5/ предлагаются для описания экспериментальных данных различные ядерные потенциалы, существенно отличные от использованного нами. Выбирая путем подгонки параметры этих потенциалов, удается описать экспериментальные результаты для определенной группы переходов в  $\pi$ -мезоатомах, так что для данной группы ре-

зультаты будут близки к нашим. Однако для других групп переходов различия будут большими. Особенно большие различия будут в относительном положении уровней  $E_{ne}$  и значениях их ширин  $\Gamma_{ne}$  при различных  $n$ ,  $\ell$ . Из-за существенно иной координатной зависимости потенциала, предложенные в [4] или [5], ни при каком выборе их параметров не могут привести к обсуждавшимся выше особенностям в величинах ядерных сдвигов  $\Delta E_{ne}$  и ширин  $\Gamma_{ne}$ .

3. Как видно из приведенных результатов, поглощение может с большой вероятностью происходить из состояний с малыми  $\ell$ , но очень большими  $n$ , например,  $12S$  у  $^{208}Pb$ . Полученные положения уровней  $E_{nl}$ , их ширины  $\Gamma_{ne}$  и волновые функции  $\Phi_{ne}$  позволяют вычислить "расписание поглощения"  $\pi$ -мезона аналогично тому, как это сделано для  $\Lambda$ -мезоатомов в работах [6]. Экспериментальное изучение поглощения  $\pi$ -мезонов из состояний с большими  $n$ , но малыми  $\ell$  представляет большой интерес, так как дает сведения о  $\Phi_{ne}$  в этих состояниях. Состояния  $\pi$ -мезона с большой энергией связи в тяжелых мезоатомах, волновые функции  $\Phi_{ne}(r)$  (рис. 2, 3), энергии  $E_{ne}$  и ширины  $\Gamma_{ne}$  которых мы вычислили, могут изучаться экспериментально в ряде процессов, например, при фотон- и электророждении  $\pi$ -мезонов в связанном состоянии, прямом захвате  $\pi$ -мезона в такое состояние и т.д.

Представляет интерес экспериментальное изучение каскадов в  $\pi$ -мезоатомах, идущих не по круговым орбитам. Для  $^{208}Pb$  возможно наблюдение каскадов, начинающихся, например, с уровнем с  $n = 12$ , а  $\ell \geq 4$ ; нижайшими из них будут  $7h - 6g$ ,  $6g - 5f$ ,  $7g - 3f$ , как это видно из таблицы 5 и рис. I. Обратим внимание (см. таблицы 5, 6) на то, что расщепление уровней мезоатома по  $\ell$  достаточно велико вследствие чего,

например,  $E_{4s} \approx E_{5d}$ . Разности энергий  $E_{ne}$  с различными  $\ell$  и одним и тем же  $n = 4, 5$  сравнимы с энергиями возбуждения низко-лежащих состояний тяжелых деформированных ядер, что может быть интересно для ряда задач ядерной физики, так как приводит к смешиванию  $\pi$ -мезоатомных и ядерных состояний.

Таким образом, мы подробно изучили различные состояния  $\pi$ -мезоатомов, и полученные результаты могут быть использованы для исследования вопросов взаимодействия  $\pi$ -мезонов с ядрами.

Авторы благодарны Р.А.Эрамжяну, Р.А.Саккаеву за внимание к работе и полезные обсуждения.

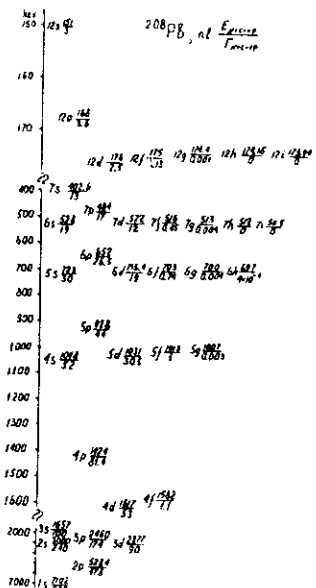


Рис. 1

Спектр уровней  $\pi$ -мезонатома  $^{208}\text{Pb}$ . Над каждой горизонтальной чертой указана энергия  $E_{nl}$  соответствующего уровня, а под чертой — его ширина  $\Gamma_{nl}$  (в кэВ). Слева указаны  $nl$ .

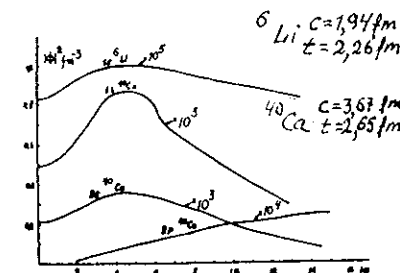


Рис. 2

Распределение плотности  $(|\Phi_{ne}(r)|^2)$  для  $\pi$ -мезона для различных состояний  $nl$   $\pi$ -мезонатомов  $^6\text{Li}$  и  $^{40}\text{Ca}$ .

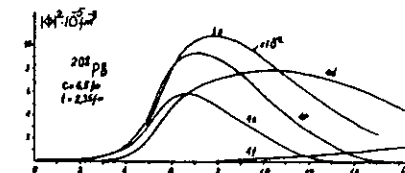


Рис. 3

Распределение плотности  $(|\Phi_{ne}(r)|^2)$   $\pi$ -мезона для различных состояний  $nl$   $\pi$ -мезонатома  $^{208}\text{Pb}$ .

Таблица I

Энергии  $E_{nl}$  и ширины уровней  $\Gamma_{nl}$   $\pi$ -мезоатома  $\Sigma$  в кэВ.

В первой колонке указаны состояния  $n\ell$ . Энергии связи  $\pi$ -мезона в кулоновском поле ядра конечных размеров приведены в колонках (2) – без учета поляризации вакуума  $V_{VP}$  и (3) – с учетом  $V_{VP}$ . Энергии и ширины уровней с учетом ядерного взаимодействия приведены в колонках (4), (5) без учета  $V_{VP}$ , а в колонках (6), (7) – с учетом  $V_{VP}$ . В колонке 8 приведены сдвиги уровней, вызванные ядерным взаимодействием:

$$\Delta E_N = E_{N+c+VP} - E_{N+c}.$$

Звездочка (\*) означает, что для всех состояний с данным  $n$  и большими  $\ell$  влияние ядерного взаимодействия пренебрежимо мало.

$n\ell$	$-E_c$	$-E_{c+VP}$	$-E_{N+c}$	$\Gamma_{N+c}$	$-E_{N+c+VP}$	$\Gamma_{N+c+VP}$	$\Delta E_N$
1	2	3	4	5	6	7	8
1S	32.600	32.693	32.152	0.142	32.241	0.144	0.452
2S	8.155	8.165	8.099	0.018	8.109	0.018	0.056
2P	8.160	8.164	8.160	$6 \times 10^{-6}$	8.164	$6 \times 10^{-6}$	–
3S	3.625	3.628	3.608	0.006	3.611	0.006	0.017
3P*	3.626	3.628	3.627	$2 \times 10^{-6}$	3.627	$2 \times 10^{-6}$	0.001
4S	2.039	2.041	2.032	0.002	2.033	0.002	0.008
4P*	2.040	2.040	2.040	$1 \times 10^{-6}$	2.040	$1 \times 10^{-6}$	–
5S	1.305	1.306	1.302	0.001	1.302	0.001	0.004
5P*	1.306	1.306	1.306	–	1.306	–	–

Таблица 2

Энергии и ширины уровней для  $\pi$ -мезоатома  $^{12}\text{C}$   
(все аналогично таблице I)

$n\ell$	$-E_c$	$-E_{c+VP}$	$-E_{N+c}$	$\Gamma_{N+c}$	$-E_{N+c+VP}$	$\Gamma_{N+c+VP}$	$\Delta E_N$
1	2	3	4	5	6	7	8
1S	131.999	132.171	125.737	2.774	126.276	2.802	5.895
2S	32.976	33.504	32.229	0.360	32.299	0.364	1.205
2P	33.045	33.090	33.047	$82 \times 10^{-5}$	33.092	$87 \times 10^{-5}$	-0.002
3S	14.666	14.687	14.443	0.102	14.463	0.110	0.224
3P	14.686	14.698	14.687	$29 \times 10^{-5}$	14.699	$30 \times 10^{-5}$	-0.001
3d	14.684	14.690	14.684	–	14.690	–	–
4S	8.252	8.261	8.155	0.048	8.166	0.046	0.095
4P	8.260	8.266	8.260	$96 \times 10^{-6}$	8.266	$92 \times 10^{-6}$	–
4d	8.260	8.262	8.260	–	8.262	–	–
4f	8.260	8.260	8.260	–	8.260	–	–
5S	5.282	5.287	5.233	0.024	5.238	0.024	0.049
5P	5.286	5.289	5.286	$54 \times 10^{-6}$	5.289	$80 \times 10^{-6}$	–
5d*	5.286	5.287	5.286	–	5.287	–	–
6S	3.668	3.671	3.640	0.014	3.642	0.014	0.029
6P	3.671	3.673	3.671	–	3.673	–	–
6d*	3.671	3.671	3.671	–	3.671	–	–
7S	2.696	2.697	2.677	0.008	2.678	0.008	0.019
7P	2.697	2.698	2.697	$18 \times 10^{-6}$	2.698	$18 \times 10^{-6}$	–
7d	2.697	2.698	2.697	–	2.698	–	–
7f*	2.697	2.697	2.697	–	2.697	–	–
8S	2.062	2.065	2.050	0.006	2.052	0.006	0.013
8P	2.062	2.066	2.062	$20 \times 10^{-6}$	2.066	$20 \times 10^{-6}$	–
8d	2.066	2.067	2.066	–	2.067	–	–
8f*	2.065	2.065	2.065	–	2.065	–	–

Таблица 3

Энергии и ширины уровней для  $\chi$ -мезоатома

(аналогично таблице I)

$n\ell$	$-E_C$	$-E_{C+VP}$	$-E_{W+C}$	$\Gamma_{W+C}$	$-E_{W+C+VP}$	$\Gamma_{W+C+VP}$	$\Delta E_W$
1	2	3	4	5	6	7	8
I S	1356.386	1366.013	1098.097	88.426	II04.6I2	89.552	26I.40I
2 S	355.418	356.986	317.782	I4.390	319.003	I4.546	37.983
2 P	37I.264	372.705	372.666	I.208	374.I34	I.230	-I.429
3 S	I60.248	I60.726	I48.530	4.644	I48.9I8	4.688	II.808
3 P	I64.994	I65.4I3	I65.486	0.4I6	I65.9I3	0.432	-0.500
3 d	I64.729	I65.046	I64.73I	$44 \times 10^{-5}$	I65.050	$64 \times 10^{-5}$	-0.004
4 S	90.765	90.962	85.695	2.044	85.863	2.060	5.099
4 P	92.777	92.945	92.986	0.I96	93.I66	0.I92	-0.22I
4 d	92.666	92.789	92.670	$40 \times 10^{-5}$	92.790	$40 \times 10^{-5}$	-0.00I
4 f	92.6I0	92.698	92.6I0	-	92.697	-	0.00I
5 S	58.326	58.424	55.692	I.072	55.763	I.I08	2.66I
5 P	59.359	59.44I	59.47I	0.I00	59.557	0.I00	-0.II6
5 d	59.302	59.360	59.306	-	59.362	$20 \cdot 10^{-5}$	-0.002
5 f	59.273	59.3I3	59.273	-	59.3I4	0	-0.00I
5 g	59.257	59.283	59.257	-	59.284	-	-0.00I
6 S	40.6I2	40.668	39.074	0.630	39.I22	0.636	I.546
6 P	4I.2II	4I.257	4I.276	0.060	4I.325	0.058	-0.068
6 d	4I.I78	4I.2II	4I.I79	$14 \times 10^{-5}$	4I.2I2	$14 \times 10^{-5}$	-0.00I
6 f	4I.I62	4I.I83	4I.I62	-	4I.I84	-	-0.00I
6 g	4I.I52	4I.I67	4I.I52	-	4I.I67	-	-
6 h	4I.I46	4I.I55	4I.I46	-	4I.I55	-	-

Таблица 3 (продолжение)

$n\ell$	$-E_C$	$-E_{C+VP}$	$-E_{W+C}$	$\Gamma_{W+C}$	$-E_{W+C+VP}$	$\Gamma_{W+C+VP}$	$\Delta E_W$
1	2	3	4	5	6	7	8
I0 S	I4.697	I4.709	I4.357	0.I40	I4.369	0.I42	0.340
I0 P	I4.827	I4.840	I4.838	0.0I2	I4.85I	0.0I2	-0.0II
I0 d	I4.820	I4.827	I4.820	$30 \times 10^{-6}$	I4.827	$30 \times 10^{-6}$	-
I0 f	I4.8I6	I4.820	I4.8I7	-	I4.82I	-	-0.00I
I0 g	I4.8I4	I4.8I7	I4.8I4	-	I4.8I7	-	-
I0 h	I4.8I3	I4.8I5	I4.8I3	-	I4.8I5	-	-
I0 l	I4.I82	I4.8I3	I4.8I2	-	I4.8I3	-	-
I0 j	I4.8I2	I4.8I2	I4.8I2	-	I4.8I2	-	-
I0 k	I4.8II	I4.8II	I4.8II	-	I4.8II	-	-

Таблица 4

Энергии и ширины уровней для  $\pi$ -мезоатома

(аналогично таблице I)

 $^{120}\text{Sn}$ 

$n\ell$	$-E_C$	$-E_{C+VP}$	$-E_{N+C}$	$\Gamma_{N+C}$	$-E_{N+C+VP}$	$\Gamma_{N+C+VP}$	$\Delta E_N$
1	2	3	4	5	6	7	8
1 S	6249.34I	6294.440	3910.445	374.564	3931.857	374.620	2362.583
2 S	1917.935	1928.644	1436.267	92.556	1442.588	93.604	486.056
2 P	2321.529	2336.367	2281.128	126.004	2294.807	128.180	41.580
3 S	910.517	914.371	740.498	35.644	742.998	36.026	171.373
3 P	1035.062	1039.909	1020.064	43.498	1024.553	44.168	15.356
3 d	1037.814	1042.107	1040.733	2.282	1045.088	2.344	-2.98I
4 S	528.88I	530.64I	450.522	17.322	451.725	17.386	78.916
4 P	582.545	584.623	575.770	17.336	577.69I	19.606	6.932
4 d	584.0II	585.829	585.757	1.402	587.608	1.436	-1.779
4 f	581.845	583.378	581.858	0.004	583.39I	0.004	-0.013
5 S	344.986	345.890	302.655	9.628	303.306	9.656	42.584
5 P	372.792	373.84I	369.208	10.142	370.190	10.276	3.65I
5 d	373.616	374.52I	374.635	0.830	375.560	0.850	-1.039
5 f	372.5II	373.262	372.486	0.004	373.273	0.004	-0.0II
5 g	371.877	372.502	371.877	$3 \times 10^{-6}$	372.502	$3 \times 10^{-6}$	-
6 S	242.584	243.112	217.209	5.846	217.592	5.900	25.520
6 P	258.815	259.407	256.709	5.948	257.265	6.024	2.142
6 d	259.312	259.819	259.942	0.516	260.46I	0.528	-0.542
6 f	258.675	259.090	258.683	0.002	259.098	0.002	-0.008
6 g	258.308	258.647	258.309	-	258.647	$3 \times 10^{-6}$	-
6 h	258.076	258.35I	258.076	-	258.35I	-	-

Таблица 4 (продолжение)

$n\ell$	$-E_C$	$-E_{C+VP}$	$-E_{N+C}$	$\Gamma_{N+C}$	$-E_{N+C+VP}$	$\Gamma_{N+C+VP}$	$\Delta E_N$
1	2	3	4	5	6	7	8
7 S	179.816	180.142	163.422	3.828	163.666	3.862	16.476
7 P	190.094	190.458	188.756	3.776	189.098	3.822	1.360
7 d	190.415	190.724	190.828	0.342	191.144	0.346	-0.420
7 f	190.015	190.265	190.020	0.002	190.271	0.002	-0.006
7 g	189.784	189.985	189.784	$3 \times 10^{-6}$	189.985	$3 \times 10^{-6}$	-
7 h	189.637	189.798	189.637	-	189.798	-	-
7 i	189.536	189.662	189.536	-	189.662	-	-
12 S	62.540	62.604	59.127	0.836	59.19I	0.842	3.403
12 P	64.610	64.679	64.34I	0.762	64.406	0.770	0.273
12 d	64.677	64.737	64.764	0.072	64.823	0.074	-0.086
12 f	64.598	64.644	64.599	$82 \times 10^{-5}$	64.644	$84 \times 10^{-5}$	-
12 g	64.552	64.587	64.552	-	64.587	-	-
12 h	64.523	64.550	64.523	-	64.550	-	-
12 i	64.503	64.524	64.503	-	64.524	-	-
12 j	64.488	64.503	64.488	-	64.503	-	-
12 k	64.477	64.488	64.477	-	64.488	-	-
12 l*	64.468	64.476	64.468	--	64.476	-	-

Таблица 5

Энергии и ширины уровней для  $\pi$ -мезонатома  
(аналогично таблице I)

$^{208}$   
Pb

$n\ell$	$-E_C$	$-E_{C+VP}$	$-E_{N+C}$	$\Gamma_{N+C}$	$-E_{N+C+VP}$	$\Gamma_{N+C+VP}$	$\Delta E_N$
1	2	3	4	5	6	7	8
1 S	I2I95.66I	I2254.339	7064.255	67I.846	7I0I.722	678.524	5I42.6I7
2 S	4387.896	44I3.394	2989.023	22I.248	3002.7I0	239.768	I4I0.684
2 P	5927.145	5969.I20	5255.9I4	472.870	5284.477	478.I52	684.643
3 S	2202.8I6	22I3.288	I650.600	98.3I8	I656.572	99.502	556.7I6
3 P	2693.I43	2708.026	2448.675	I72.I42	2459.264	I74.I80	248.762
3 d	28I7.090	2832.867	286I.I80	97.586	2877.930	89.6I0	-45.063
4 S	I3I5.453	I320.55I	I045.334	5I.502	I048.435	52.I08	272.II6
4 P	I530.8II	I537.557	I4I8.846	80.480	I423.783	8I.4I6	II3.774
4 d	I586.I55	I593.I64	I609.87I	5I.744	I6I6.974	52.8I8	-23.8I0
4 f	I574.5I7	I580.652	I576.I23	I.092	I582.298	I.I28	-I.646
5 S	872.I75	874.963	720.834	30.I38	722.648	30.474	I52.3I5
5 P	985.224	988.755	925.4I2	43.668	928.039	44.I56	60.7I6
5 d	I0I4.26I	I0I7.878	I027.368	29.000	I030.982	30.488	-I3.I04
5 f	I008.630	I0II.780	I0I0.007	0.972	I0I3.I90	I.002	-I.4I0
5 g	I004.0I0	I006.750	I004.0I7	0.004	I006.756	0.003	-0.006
6 S	6I9.947	62I.606	526.9I5	I9.082	582.047	I9.288	93.559
6 P	686.480	688.520	650.982	26.200	652.5I5	26.486	30.005
6 d	703.497	705.564	7II.326	I8.354	7I3.398	I8.674	-7.838
6 f	700.346	702.I35	70I.344	0.720	703.I54	0.742	-I.0I9
6 g	697.672	699.2I3	697.680	0.00I	699.223	0.004	-0.0I0
6 h	695.975	697.309	695.975	-	697.3I0	$4 \times 10^{-6}$	-0.00I

Таблица 5 (продолжение)

$n\ell$	$-E_C$	$-E_{C+VP}$	$-E_{N+C}$	$\Gamma_{N+C}$	$-E_{N+C+VP}$	$\Gamma_{N+C+VP}$	$\Delta E_N$
1	2	3	4	5	6	7	8
7 S	463.049	464.I05	40I.905	I2.8I2	402.6I8	I2.954	6I.487
7 P	505.453	506.722	482.739	I6.896	483.698	I7.082	23.024
7 d	5I6.250	5I7.523	52I.27I	II.920	522.542	I2.I30	-5.0I9
7 f	5I4.3I3	5I5.409	5I5.023	0.5I8	5I6.I33	0.454	-0.724
7 g	5I2.62I	5I3.557	5I2.629	-	5I3.566	0.004	-0.009
7 h	5II.549	5I2.35I	5II.549	-	5I2.35I	-	-
7 i	5I0.8I3	5II.499	5I0.8I3	-	5II.499	-	-
I2 S	I64.096	I64.305	I50.654	2.606	I50.728	3.0I9	I3.577
I2 P	I72.772	I73.009	I68.075	3.523	I68.286	3.578	4.723
I2 d	I74.940	I75.I73	I75.696	2.484	I76.I96	2.526	-I.022
I2 f	I74.572	I74.768	I74.743	0.I32	I74.944	0.I32	-0.I76
I2 g	I74.237	I74.399	I74.240	0.00I	I74.403	0.00I	-0.004
I2 h	I74.024	I74.159	I74.022	-	I74.159	-	-
I2 i	I73.677	I73.988	I73.677	-	I73.988	-	-
I2 j	I73.77I	I73.860	I73.696	-	I73.860	-	-
I2 k	I73.688	I73.76I	I73.688	-	I73.76I	-	-
I2 l	I73.624	I73.68I	I73.624	-	I73.68I	-	-
I2 m	I73.572	I73.6I6	I73.572	-	I73.6I6	-	-

Таблица 6

238

Энергии и ширины уровней для  $\pi$ -мезоатома  
(аналогично таблице I)

$n\ell$	$-E_c$	$-E_{c+vp}$	$-E_{n+c}$	$\Gamma_{n+c}$	$-E_{n+c+vp}$	$\Gamma_{n+c+vp}$	$\Delta E_n$
1	2	3	4	5	6	7	8
3 <i>s</i>	2691.617	2704.766	I975.805	I26.906	I983.125	I28.538	721.641
3 <i>P</i>	3326.042	3344.742	2948.309	222.142	2962.099	225.190	382.643
3 <i>d</i>	3551.645	3572.690	3607.593	I60.852	3629.467	I64.866	-56.777
4 <i>S</i>	I620.133	I626.662	I264.497	68.318	I268.375	79.178	358.287
4 <i>P</i>	I900.824	I909.454	I726.338	I07.266	I732.887	I08.700	I76.567
4 <i>d</i>	2000.144	2009.578	2027.082	92.374	2036.771	94.430	-27.193
4 <i>f</i>	I986.665	I995.058	I991.138	3.500	I999.662	3.626	-4.604
5 <i>S</i>	I079.199	I081.352	878.062	40.658	880.313	41.152	201.039
5 <i>P</i>	I227.205	I231.780	II33.417	59.306	II36.956	60.064	94.824
5 <i>d</i>	I279.031	I283.935	I293.236	52.832	I298.234	53.916	-14.299
5 <i>f</i>	I272.943	I277.294	I276.747	3.152	I281.203	3.262	-3.909
5 <i>g</i>	I265.653	I269.459	I265.689	0.014	I269.486	0.014	-0.037
6 <i>S</i>	769.430	771.603	645.006	26.042	646.407	26.248	I25.196
6 <i>P</i>	856.810	859.475	800.902	36.020	802.991	36.462	56.483
6 <i>d</i>	887.102	889.920	895.405	32.232	898.263	32.854	-8.343
6 <i>f</i>	883.841	886.330	886.584	2.346	889.145	2.426	-2.815
6 <i>g</i>	879.629	881.790	879.670	0.016	881.832	0.016	-0.042
6 <i>h</i>	876.931	878.819	876.931	-	878.819	-	-

## Литература

- Д.А.Арсеньев, Г.Г.Бунатян. Сообщение ОИЯИ, Р4-8836, Дубна, 1975.
- M.Ericson and T.E.O.Ericson. Ann.of Phys.36(1966),323.
- J.P.Dedonder. Nucl.Phys.A174(1970)461; Nucl.Phys.A180(1972)472.
- B.Blum. Nucl.Phys.NB.202(1970),155.
- F.Scheck and C.Wilkin. Nucl.Phys.B49(1972)541.
- Y.Eisenberg, D.Kessler. Nuovo.Cim.19(1961),1195; Phys.Rev.123(1961),1472.

Рукопись поступила в издательский отдел  
25 апреля 1975 г.